

РАССЕЯНИЕ СВЕТА ДВУМЕРНОЙ ЭЛЕКТРОННОЙ СИСТЕМОЙ СО СПИН-ОРБИТАЛЬНЫМ ВЗАИМОДЕЙСТВИЕМ В СИЛЬНОМ МАГНИТНОМ ПОЛЕ

Р. З. Витлина^a, Л. И. Магарилл^{a,b}, А. В. Чаплик^{a,b}*

*^a Институт физики полупроводников им. А. В. Ржанова Сибирского отделения Российской академии наук
630090, Новосибирск, Россия*

*^b Новосибирский государственный университет
630090, Новосибирск, Россия*

Поступила в редакцию 20 июня 2013 г.

Теоретически исследовано рассеяние света электронами двумерной системы в сильном магнитном поле перпендикулярном плоскости системы (фактор заполнения меньше двух, т. е. заполнены состояния лишь нулевого уровня Ландау). Рассмотрение проведено в резонансном приближении — частоты падающего и рассеянного света близки к эффективному расстоянию между зоной проводимости и одной из ветвей валентной зоны полупроводника. Учтено спиновое расщепление уровня Ландау в зоне проводимости, обусловленное зеемановским и спин-орбитальным взаимодействиями. Эффекты динамического экранирования учитываются в рамках RPA.

DOI: 10.7868/S0044451013120171

1. ВВЕДЕНИЕ

Рассеяние света, как рамановское, так и рэлеевское, давно уже стало эффективным и информативным методом исследования электронных свойств низкоразмерных систем [1–6]. В последние годы в связи с развитием идей спинтроники оно применяется для изучения спиновых расщеплений в спектрах квазичастиц [7–10]. Существенно в меньшей степени исследовано рассеяние света спин-зависимыми коллективными возбуждениями в низкоразмерных системах. Между тем, спектры плазменных колебаний при наличии спин-орбитального взаимодействия носителей заряда, а также в присутствии магнитного поля характеризуются качественными особенностями, отличающими их от «обычных» плазмонов и магнитоплазмонов, при расчете которых игнорируются спиновые степени свободы [11–14]. В предлагаемой работе исследуется упругое и неупругое рассеяние света двумерной электронной системой в сильном перпендикулярном магнитном поле. В соответствии с обычными экспериментальными условиями будем считать рассеяние резонансным. Это означает, что частоты падающего ω_1 и рассеянного

ω_2 света близки к расстоянию между нижней размерно-квантованной подзоной зоны проводимости и верхней подзоной одной из дырочных зон (легкие или тяжелые дырки, спин-орбитально отщепленная валентная зона). В зоне проводимости будем учитывать зеемановское расщепление и спин-орбитальное взаимодействие в модели Бычкова–Рашба. Магнитное поле считаем столь сильным, что актуальными являются лишь две спиновые компоненты нулевого уровня Ландау, т. е. фактор заполнения $\nu \leq 2$. В этих условиях неупругое рассеяние связано лишь с переходами внутри нулевого уровня Ландау, однако передаваемая частота $\omega_1 - \omega_2$, вообще говоря, не равна разности одночастичных энергий спиновых компонент этого уровня из-за эффектов динамического экранирования. Последние будут учитываться нами в рамках RPA-подхода, что означает неприменимость полученных результатов вблизи $\nu = 1$, где существенными становятся электрон-электронные корреляции (скирмионы). Как будет показано, сечения упругого и неупругого рассеяния в рассматриваемой задаче характеризуются нетривиальными поляризационными зависимостями, а также существенно зависят от спин-орбитального взаимодействия в зоне проводимости, даже если соответствующее расщепление мало по сравнению с циклотронной частотой.

*E-mail: chaplik@isp.nsc.ru

2. ОБЩИЙ ФОРМАЛИЗМ

В приближении самосогласованного поля дифференциальное сечение рассеяния в двумерном случае можно представить в виде [3, 4, 15]:

$$\frac{d^2\sigma}{d\omega d\Omega} = \frac{\omega_2}{\omega_1} \left(\frac{e}{c}\right)^4 \frac{n_\omega + 1}{\pi} \times \text{Im} \left(L_2 - \frac{2\pi e^2}{\kappa q} \frac{L_1 \tilde{L}_1}{\epsilon(\omega, q)} \right) \equiv \frac{\omega_2}{\omega_1} \left(\frac{e}{c}\right)^4 \frac{1}{\pi} R(\omega), \quad (1)$$

где величины L_2 , L_1 , \tilde{L}_1 даются выражениями

$$\begin{aligned} L_2 &= \frac{1}{S} \sum_{\beta'\beta} |\Gamma_{\beta'\beta}|^2 F_{\beta'\beta}, \\ L_1 &= \frac{1}{S} \sum_{\beta'\beta} \Gamma_{\beta'\beta}^* J_{\beta'\beta} F_{\beta'\beta}, \\ \tilde{L}_1 &= \frac{1}{S} \sum_{\beta'\beta} \Gamma_{\beta'\beta} J_{\beta'\beta}^* F_{\beta'\beta}. \end{aligned} \quad (2)$$

Здесь $\omega_{1,2}$ — частоты падающего и рассеянного света, $q = q_1 - q_2$, $q_{1,2}$ — проекции волновых векторов падающего и рассеянного света на плоскость системы, $\omega = \omega_1 - \omega_2$ — сдвиг частоты при неупругом рассеянии света, $n_\omega = 1/(e^{\omega/T} - 1)$ — функция Бозе, $J = e^{i\mathbf{q}\cdot\mathbf{r}}$, β — набор квантовых чисел, характеризующих состояние электрона в зоне проводимости, κ — фоновая диэлектрическая проницаемость, S — нормировочная площадь системы, $\hat{\Gamma}$ — оператор рассеяния; здесь и далее $\hbar = 1$. Продольная диэлектрическая проницаемость электронов в зоне проводимости $\epsilon(\omega, q)$ имеет вид

$$\epsilon(\omega, q) = 1 + \frac{2\pi e^2}{\kappa q S} \sum_{\beta'\beta} |J_{\beta'\beta}|^2 F_{\beta'\beta}, \quad (3)$$

$$F_{\beta'\beta} = \frac{f_{\beta'} - f_\beta}{(\omega + \varepsilon_{\beta\beta'} + i\eta)}, \quad \eta = +0, \quad (4)$$

где $f_\beta \equiv f(\varepsilon_\beta)$, $f(\varepsilon)$ — функция Ферми, ε_β — энергия электрона в зоне проводимости, $\varepsilon_{\beta\beta'} = \varepsilon_\beta - \varepsilon_{\beta'}$. В данной работе изучается рассеяние света от так называемой рашбовской плоскости — двумерного электронного газа с учетом спин-орбитального взаимодействия (СОВ) в присутствии сильного магнитного поля нормального к плоскости структуры. Считается, что в зоне проводимости заполнен только нулевой уровень Ландау, т. е. предполагается, что фактор заполнения $\nu = 2\pi n_s l^2 \leq 2$ (n_s — концентрация электронного газа, $l = \sqrt{c/|e|H}$ — магнитная длина). Двумерная система с учетом СОВ описывается гамильтонианом Бычкова–Рашба [16]:

$$H_0 = \frac{\pi^2}{2m} + \alpha(\boldsymbol{\sigma} \cdot [\boldsymbol{\pi} \times \mathbf{n}]) + \frac{g\mu_B \boldsymbol{\sigma} \cdot \mathbf{H}}{2}. \quad (5)$$

Здесь $\boldsymbol{\pi} = \mathbf{p} - e\mathbf{A}/c$, \mathbf{A} — векторный потенциал ($\mathbf{A} = (0, Hx, 0)$, $\mathbf{H} = (0, 0, H)$), m — эффективная масса, α — эффективная константа СОВ, $\boldsymbol{\sigma}$ — вектор матриц Паули, $\mathbf{n} = (0, 0, 1)$ — орт нормали к плоскости системы; теперь $\beta = (N, k, \mu)$, где N — номер уровня Ландау, индекс $\mu = \pm 1$ нумерует подуровни расщепленного по спину спектра (в дальнейшем для краткости заменим ± 1 на \pm), k — импульс вдоль оси y , μ_B — магнетон Бора.

Волновые функции гамильтониана (5) имеют вид [14, 17]:

$$\Psi_{N,k,\mu} = \frac{e^{iky}}{\sqrt{lL}} \begin{pmatrix} \psi_{N,k,\mu}^+ \\ \psi_{N,k,\mu}^- \end{pmatrix}, \quad (6)$$

$$\begin{aligned} \psi_{N,k,\mu}^\pm &= \left(\delta_{\mu,\pm 1} \varphi_N \left(\frac{x + l^2 k}{l} \right) \pm \right. \\ &\quad \left. \pm \delta_{\mu,\mp 1} C_{N+\frac{1\pm\mu}{2}} \varphi_{N+\mu} \left(\frac{x + l^2 k}{l} \right) \right) \times \\ &\quad \times \frac{1}{\sqrt{1 + C_{N+\frac{1\pm\mu}{2}}^2}}. \end{aligned} \quad (7)$$

Здесь φ_N — безразмерные нормированные функции гармонического осциллятора, $C_N = \gamma\sqrt{N}/(\delta + \sqrt{\delta^2 + \gamma^2 N})$, $\delta = 1/2 - mg/(4m_0)$ (будем в дальнейшем считать $g < 0$, что часто реализуется в материалах $A_{III}B_V$), $\gamma = \sqrt{2}mal$, L — нормировочный размер в направлении y . Спектр гамильтониана (5) можно представить в виде

$$\varepsilon_{N,\mu} = \omega_c \left(N + \frac{1+\mu}{2} - \mu \sqrt{\delta^2 + \gamma^2 \left(N + \frac{1+\mu}{2} \right)} \right), \quad (8)$$

$$N = 0, 1, 2, \dots,$$

где $\omega_c = |e|H/mc$.

СОВ снимает вырождение по спину, и каждый уровень Ландау расщепляется на два подуровня. Расщепление считается достаточно слабым, т. е. предполагается выполнение условий $2m\alpha^2/\omega_c \ll 1$, $|g|\mu_B H/\omega_c = |g|m/2m_0 \ll 1$. Энергия нижнего (+) и верхнего (−) подуровней нулевого уровня Ландау в зоне проводимости имеет вид (в дальнейшем индекс $N = 0$ опускаем)

$$\begin{aligned} \varepsilon_+ &= \omega_c/2 - \Delta_R - \Delta_Z/2, & \varepsilon_- &= \omega_c/2 + \Delta_Z/2, \\ \varepsilon_- - \varepsilon_+ &= \Delta_R + \Delta_Z \equiv \Delta, \end{aligned} \quad (9)$$

где $\Delta_R = 2m\alpha^2$, $\Delta_Z = |g|\mu_B H$ — спин-орбитальное и зеемановское расщепления нижнего уровня Ландау в зоне проводимости.

Продольная диэлектрическая проницаемость для электронов в зоне проводимости (3) в области частот порядка Δ с помощью выражения (4) может быть представлена в виде

$$\begin{aligned} \epsilon(\omega, q) &= 1 + \frac{\omega_c}{qa_B} \sum_{\mu} F_{\mu, -\mu} |J_{\mu, -\mu}|^2 + \mathcal{F} = \\ &= 1 - \frac{2\Delta\omega_c(f_+ - f_-)}{qa_B(\omega^2 - \Delta^2)} |J_{+, -}|^2 + \mathcal{F}. \end{aligned} \quad (10)$$

Здесь $J_{\pm\mp} = -i\gamma ql \hat{q}_{\mp} I / \sqrt{2}$, $\hat{\mathbf{q}} = \mathbf{q}/q$ — орт вектора \mathbf{q} , $\hat{q}_{\pm} = \hat{q}_x \pm i\hat{q}_y$, $I \equiv J_{\mu\mu} = e^{-u/2}$, $u = q^2 l^2 / 2$ (заметим, что $|J_{+, -}| = |J_{-, +}|$), $\mathcal{F}(u) = 2\nu(\text{Ei}(u) - C - \ln u)e^{-u}/qa_B$, $\text{Ei}(u)$ — интегральная показательная функция, C — константа Эйлера, a_B — эффективный боровский радиус для электронов в зоне проводимости. Величина \mathcal{F} соответствует вкладу в поляризационный оператор от переходов в состояния с $N \neq 0^1$.

Функция $\epsilon(\omega, q)$ обращается в нуль при частоте $\omega = \omega_0(q)$, соответствующей межподзону плазмону, причем в роли подзон здесь выступают спиновые подуровни нулевого уровня Ландау. Для $\omega_0(q)$ находим следующее выражение:

$$\omega_0^2 = \Delta^2 \left(1 + \frac{ql^2 \Delta_R}{a_B \Delta (1 + \mathcal{F})} I^2 (f_+ - f_-) \right). \quad (11)$$

Из формулы (11) следует, что дисперсия у плазмона имеется только при учете СОВ. Эта формула обобщает выражение для межподзона плазмона, полученное нами ранее для рашбовской плоскости в отсутствие зеемановского расщепления [14, 18]. Уравнения (10), (11) дают возможность записать $\epsilon(\omega, q)$ следующим образом:

$$\epsilon(\omega, q) = (1 + \mathcal{F}) \frac{(\omega + i\eta)^2 - \omega_0^2}{(\omega + i\eta)^2 - \Delta^2}. \quad (12)$$

3. ВЫВОД ФОРМУЛ ДЛЯ СЕЧЕНИЙ

Перейдем к преобразованию выражения для сечения рассеяния (1) и ограничимся вкладом от пере-

¹⁾ Хотя в данной работе рассматривается ультраквантовый случай сильного магнитного поля, когда заселены состояния лишь с $N = 0$, в выражении для диэлектрической проницаемости при малых частотах мы учли вклад в поляризуемость всех остальных состояний. Соответствующий бесконечный ряд при $\omega = 0$ удается просуммировать (см. работу [14]).

ходов внутри нижнего уровня Ландау $N = 0$. Разобьем $R(\omega)$ на две части:

$$\begin{aligned} R(\omega) &= R_1 + R_2, \quad R_1 = (n_{\omega} + 1) \text{Im}(L_2), \\ R_2 &= -(n_{\omega} + 1) \frac{2\pi}{mq a_B} \text{Im} \left(\frac{L_1 \tilde{L}_1}{\epsilon} \right). \end{aligned} \quad (13)$$

Воспользовавшись известным соотношением между фермиевскими и бозевскими функциями:

$$(f_{\mu} - f_{\mu'}) (n_{\varepsilon_{\mu'} - \varepsilon_{\mu}} + 1) = f_{\mu} (1 - f_{\mu'}), \quad (14)$$

представим R_1 в виде

$$\begin{aligned} R_1 &= \frac{n_{\omega} + 1}{2l^2} \sum_{\mu' \mu} |\Gamma_{\mu' \mu}|^2 \text{Im}(F_{\mu' \mu}) \equiv \\ &\equiv \frac{1}{2l^2} \sum_{\mu' \mu} f_{\mu} (1 - f_{\mu'}) |\Gamma_{\mu' \mu}|^2 \delta(\omega + \varepsilon_{\mu \mu'}). \end{aligned} \quad (15)$$

Часть суммы (15) с $\mu' = \mu$, пропорциональная $\delta(\omega)$, дает вклад в упругое рассеяние:

$$R_1^{el} = \frac{\delta(\omega)}{2l^2} \sum_{\mu} f_{\mu} (1 - f_{\mu}) |\Gamma_{\mu \mu}|^2. \quad (16)$$

Слагаемые суммы с $\mu' \neq \mu$ соответствуют неупругому рассеянию:

$$\begin{aligned} R_1^{inel} &= \frac{1}{2l^2} \sum_{\pm} f_{\pm} (1 - f_{\mp}) [|\Gamma_{\mp \pm}|^2 \delta(\omega \mp \Delta)] = \\ &= \frac{n_{\omega} + 1}{2l^2} (f_+ - f_-) [|\Gamma_{-, +}|^2 \delta(\omega - \Delta) - \\ &\quad - |\Gamma_{+, -}|^2 \delta(\omega + \Delta)]. \end{aligned} \quad (17)$$

Несколько сложнее преобразовать выражение R_2 , которое можно представить следующим образом:

$$\begin{aligned} R_2 &= -\frac{(n_{\omega} + 1)\omega_c}{(2\pi l^2)qa_B} \left\{ \text{Im} \left(\frac{1}{\epsilon} \right) \times \right. \\ &\times \left[\left(\sum_{\mu' \mu} Q'_{\mu' \mu} F'_{\mu' \mu} \right)^2 + \left(\sum_{\mu' \mu} Q''_{\mu' \mu} F'_{\mu' \mu} \right)^2 - \right. \\ &- \left. \left(\sum_{\mu' \mu} Q''_{\mu' \mu} F''_{\mu' \mu} \right)^2 - \left(\sum_{\mu' \mu} Q'_{\mu' \mu} F''_{\mu' \mu} \right)^2 \right] + \\ &+ 2 \text{Re} \left(\frac{1}{\epsilon} \right) \left[\sum_{\mu' \mu} Q'_{\mu' \mu} F'_{\mu' \mu} \sum_{\mu'_1 \mu_1} Q'_{\mu'_1 \mu_1} F''_{\mu'_1 \mu_1} + \right. \\ &\left. \left. + \sum_{\mu' \mu} Q''_{\mu' \mu} F'_{\mu' \mu} \sum_{\mu'_1 \mu_1} Q''_{\mu'_1 \mu_1} F''_{\mu'_1 \mu_1} \right] \right\}. \end{aligned} \quad (18)$$

Здесь $Q_{\mu'\mu} = \Gamma_{\mu'\mu} J_{\mu'\mu}^*$, $F' = \text{Re}(F)$, $F'' = \text{Im}(F)$. Используя выражение (3) для ϵ , а также соотношение (14), выделим в (18) часть, пропорциональную $\delta(\omega)$. Она определяет упругий вклад в R_2 . Выражение для R_2^{el} имеет вид

$$R_2^{el} = \frac{\delta(\omega)\omega_c}{2l^2qa_B} \left[\frac{|Q_{+-} + Q_{-+}|^2 \omega_c (f_+ - f_-)^2}{qa_B \epsilon_0^2 \Delta^2} \times \sum_{\mu} f_{\mu} (1 - f_{\mu}) |J_{\mu\mu}|^2 - \frac{2(f_+ - f_-)}{\epsilon_0 \Delta} \times \sum_{\mu} f_{\mu} (1 - f_{\mu}) \text{Re}((Q_{+-} + Q_{-+}) Q_{\mu\mu}^*) \right], \quad (19)$$

где $\epsilon_0 \equiv \epsilon(\omega = 0, q)$. Остальные слагаемые в (18) дают неупругое рассеяние:

$$R_2^{inel} = \frac{n_{\omega} + 1}{(2\pi l^2)^2} \text{Im} \left[\frac{1}{\epsilon} \left(|Q_{+-}|^2 F_{+-}^2 + |Q_{-+}|^2 F_{-+}^2 + 2 \text{Re}(Q_{+-} Q_{-+}^*) F_{+-} F_{-+} \right) \right]. \quad (20)$$

С помощью (12) преобразуем выражения для $\text{Im}(F_{\pm\mp}^2/\epsilon)$, $\text{Im}(F_{\pm\mp} F_{\mp\pm}/\epsilon)$ к виду

$$\begin{aligned} \text{Im} \left(\frac{F_{\pm\mp}^2}{\epsilon} \right) &= \frac{\pi(f_+ - f_-)^2}{(1 + \tilde{F})} \times \\ &\times \left(\pm \frac{2\Delta}{\Delta^2 - \omega_0^2} \delta(\omega \pm \Delta) + \right. \\ &+ \delta(\omega + \omega_0) \frac{1}{2\omega_0} \frac{\omega_0 \pm \Delta}{\omega_0 \mp \Delta} - \\ &\left. - \delta(\omega - \omega_0) \frac{1}{2\omega_0} \frac{\omega_0 \mp \Delta}{\omega_0 \pm \Delta} \right); \\ \text{Im} \left(\frac{F_{+-} F_{-+}}{\epsilon} \right) &= -\frac{\pi(f_+ - f_-)^2}{2\omega_0(1 + \tilde{F})} \times \\ &\times \left(\delta(\omega + \omega_0) - \delta(\omega - \omega_0) \right). \end{aligned} \quad (21)$$

Собирая вместе (16) и (19), а также (17) и (20) с учетом (21), окончательно получим

$$R^{el}(\omega) = \frac{\delta(\omega)}{2l^2} \sum_{\mu} f_{\mu} (1 - f_{\mu}) \times \left| \Gamma_{\mu\mu} - \frac{\omega_c (f_+ - f_-) J_{\mu\mu}}{q \epsilon_0 a_B \Delta} (J_{+-}^* \Gamma_{+-} + J_{-+}^* \Gamma_{-+}) \right|^2, \quad (22)$$

$$R^{inel}(\omega) = \frac{(n_{\omega} + 1)(f_+ - f_-)}{8l^2 \Delta \omega_0} \left(|(\omega_0 - \Delta) \Gamma_{+-} \hat{q}_+ - (\omega_0 + \Delta) \Gamma_{-+} \hat{q}_-|^2 \delta(\omega - \omega_0) - |(\omega_0 + \Delta) \Gamma_{+-} \hat{q}_+ - (\omega_0 - \Delta) \Gamma_{-+} \hat{q}_-|^2 \delta(\omega + \omega_0) \right). \quad (23)$$

Таким образом, в результате довольно громоздких преобразований общей формулы (1) удается явно выделить упругий (рэлеевский), стоксовский и антистоксовский вклад в сечение рассеяния.

4. РЕЗОНАНС С РАЗЛИЧНЫМИ ВАЛЕНТНЫМИ ЗОНАМИ

В дальнейшем будет рассматриваться резонансная ситуация, когда $\omega_{1,2}$ близки к расстоянию от зоны проводимости до валентных зон (спин-отщепленной зоны, зоны тяжелых или зоны легких дырок). Для резонанса со спин-отщепленной зоной оператор рассеяния $\hat{\Gamma}^{so}$ можно представить в виде (см., например, [3, 4])

$$\hat{\Gamma}^{so} = A_{so} \hat{\Gamma}^{so}, \quad \hat{\Gamma}^{so} = (\mathbf{e}_1 \cdot \mathbf{e}_2^* + i \boldsymbol{\sigma} \cdot \mathbf{a}) e^{i\mathbf{q} \cdot \mathbf{r}}; \quad (24)$$

$$A_{so} = \frac{1}{3} \frac{P^2}{E_g^{so} - \Omega}.$$

Здесь $E_g^{so} = E_0 + \Delta_0 + \epsilon_1^e + \epsilon_1^{so}$ — эффективная ширина запрещенной зоны для рассматриваемого перехода, E_0, Δ_0 — зонные параметры объемного полупроводника типа АШВВ, $\epsilon_1^{e,so}$ — энергии размерного квантования для нижних подзон электронов и дырок в спин-отщепленной зоне, $\Omega = (\omega_1 + \omega_2)/2$, $P \equiv p_{cv}/m_0$ — параметр Кейна, $\mathbf{a} = \mathbf{e}_1 \times \mathbf{e}_2^*$, $\mathbf{e}_{1,2}$ — векторы поляризации падающего и рассеянного света. Все матричные элементы от операторов рассеяния по волновым функциям (7) с $N = 0$ вычисляются с учетом выполнения условий $2m\alpha^2/\omega_c \ll 1$, $|g|_{\mu B} H/\omega_c = |g|m/2m_0 \ll 1$. Для матричных элементов $\hat{\Gamma}^{so}$ получаем

$$\begin{aligned} \bar{\Gamma}_{++}^{so} &= I \left(\mathcal{E}_+ + \mathcal{E}_- \frac{\Delta R}{\omega_c} \left(1 - \frac{q^2 l^2}{2} \right) + 2\alpha \frac{\mathbf{q} \cdot \mathbf{a}}{\omega_c} \right), \\ \bar{\Gamma}_{--}^{so} &= I \mathcal{E}_-, \\ \bar{\Gamma}_{\pm\mp}^{so} &= iI \left(a_{\mp} - \mathcal{E}_- \frac{\alpha q_{\mp}}{\omega_c} \right), \end{aligned} \quad (25)$$

где $\mathcal{E}_{\pm} = \mathbf{e}_1 \cdot \mathbf{e}_2^* \pm ia_z$, $a_{\mp} = a_x \mp ia_y$.

В случае резонанса с зоной тяжелых дырок для оператора рассеяния $\hat{\Gamma}^{hh}$ имеем

$$\hat{\Gamma}^{hh} = A_{hh} \hat{\Gamma}^{hh}, \quad \hat{\Gamma}^{hh} = (\mathbf{e}_{1\parallel} \cdot \mathbf{e}_{2\parallel}^* - i\sigma_z a_z) e^{i\mathbf{q}\cdot\mathbf{r}}; \quad (26)$$

$$A_{hh} = \frac{1}{2} \frac{P^2}{E_g^{hh} - \Omega},$$

($E_g^{hh} = E_0 + \varepsilon_1^e + \varepsilon_1^{hh}$), $\mathbf{e}_{\parallel} = (e_x, e_y, 0)$. Для матричных элементов этого оператора находим

$$\bar{\Gamma}_{++}^{hh} = I \left(\mathcal{E}_-^{(-1)} + \mathcal{E}_+^{(-1)} \frac{\Delta R}{\omega_c} \left(1 - \frac{q^2 l^2}{2} \right) \right), \quad (27)$$

$$\bar{\Gamma}_{--}^{hh} = I \mathcal{E}_+^{(-1)}, \quad \bar{\Gamma}_{\pm\mp}^{hh} = -i I \mathcal{E}_+^{(-1)} \frac{\alpha q_{\mp}}{\omega_c}.$$

Для резонансного рассеяния с участием зоны легких дырок оператор рассеяния $\hat{\Gamma}^{lh}$ имеет вид

$$\hat{\Gamma}^{lh} = A_{lh} \hat{\Gamma}^{lh},$$

$$\hat{\Gamma}^{lh} = \left(\mathbf{e}_{1\parallel} \cdot \mathbf{e}_{2\parallel}^* + 4e_{1z} e_{2z}^* - 2i\sigma_{\parallel} \cdot \mathbf{a}_{\parallel} + i\sigma_z a_z \right) e^{i\mathbf{q}\cdot\mathbf{r}}; \quad (28)$$

$$A_{lh} = \frac{1}{6} \frac{P^2}{E_g^{lh} - \Omega},$$

($E_g^{lh} = E_0 + \varepsilon_1^e + \varepsilon_1^{lh}$), $\mathbf{a}_{\parallel} = (a_x, a_y, 0)$. Матричные элементы оператора $\hat{\Gamma}^{lh}$ равны:

$$\bar{\Gamma}_{++}^{lh} = I \left(\mathcal{E}_+^{(3)} + \mathcal{E}_-^{(3)} \frac{\Delta R}{\omega_c} \left(1 - \frac{q^2 l^2}{2} \right) - 4\alpha \frac{\mathbf{q} \cdot \mathbf{a}}{\omega_c} \right), \quad \bar{\Gamma}_{--}^{lh} = I \mathcal{E}_-^{(3)}, \quad (29)$$

$$\bar{\Gamma}_{\pm\mp}^{lh} = -i I \left(2a_{\mp} + \mathcal{E}_-^{(3)} \frac{\alpha q_{\mp}}{\omega_c} \right).$$

Для более удобного написания формул (27), (29) введено обозначение $\mathcal{E}_{\pm}^{(s)} = \mathcal{E}_{\pm} + s e_{1z} e_{2z}^*$ ($s = -1$ для тяжелых дырок, $s = 3$ для легких дырок).

В качестве характеристики рассеяния будем использовать величину \bar{R} , связанную с R из (1) соотношением $R = A^2 \bar{R}$. Предполагается выполнение условия $\Delta \gg T$, поэтому рассматривается только стоковская компонента неупругого рассеяния. Для резонанса со спин-отщепленной зоной, используя формулы (22), (23), (25), находим для упругого и неупругого

рассеяния следующие выражения:

$$\bar{R}_{so}^{el} = \frac{\delta(\omega)}{2l^2} I^2 \left[\nu_+ (1 - \nu_+) \times \right. \\ \times \left| \mathcal{E}_+ + \frac{\Delta R}{\omega_c} \mathcal{E}_- \left(1 - \frac{q^2 l^2}{2} \right) + 2 \frac{\alpha \mathbf{q} \cdot \mathbf{a}}{\omega_c} + \right. \\ \left. + \frac{2\alpha(\nu_+ - \nu_-) I^2}{\epsilon_0 a_B \Delta} \left(\hat{\mathbf{q}} \cdot \mathbf{a} - \frac{\alpha q}{\omega_c} \mathcal{E}_- \right) \right|^2 + \nu_- (1 - \nu_-) \times \\ \left. \times \left| \mathcal{E}_- + \frac{2\alpha(\nu_+ - \nu_-) I^2}{\epsilon_0 a_B \Delta} \left(\hat{\mathbf{q}} \cdot \mathbf{a} - \frac{\alpha q}{\omega_c} \mathcal{E}_- \right) \right|^2 \right], \quad (30)$$

$$\bar{R}_{so}^{inel}(\omega) = \frac{\nu_+ - \nu_-}{8l^2 \Delta \omega_0} I^2 \left| (\omega_0 - \Delta) \left(\mathcal{A}_- - \frac{\alpha q}{\omega_c} \mathcal{E}_- \right) - \right. \\ \left. - (\omega_0 + \Delta) \left(\mathcal{A}_+ - \frac{\alpha q}{\omega_c} \mathcal{E}_- \right) \right|^2 \delta(\omega - \omega_0). \quad (31)$$

Здесь $\mathcal{A}_{\pm} = \hat{\mathbf{q}} \cdot \mathbf{a} \pm i[\hat{\mathbf{q}} \times \mathbf{a}]_z$, ν_{\pm} — факторы заполнения нижнего (+) и верхнего (-) спиновых подуровней нулевого уровня Ландау ($\nu_+ + \nu_- = \nu$).

Аналогично для других резонансных случаев получаем

$$\bar{R}_{hh}^{el} = \frac{\delta(\omega)}{2l^2} I^2 \left[\nu_+ (1 - \nu_+) \times \right. \\ \times \left| \mathcal{E}_-^{(-1)} + \frac{\Delta R}{\omega_c} \mathcal{E}_+^{(-1)} \left(1 - \frac{q^2 l^2}{2} \right) - \right. \\ \left. - \frac{2\alpha^2 q (\nu_+ - \nu_-) I^2}{\epsilon_0 a_B \Delta \omega_c} \left(\mathcal{E}_+^{(-1)} \right) \right|^2 + \nu_- (1 - \nu_-) \times \\ \times \left| \mathcal{E}_+^{(-1)} - \frac{2\alpha^2 q (\nu_+ - \nu_-) I^2}{\epsilon_0 a_B \Delta \omega_c} \left(\mathcal{E}_+^{(-1)} \right) \right|^2 \right], \quad (32)$$

$$\bar{R}_{hh}^{inel}(\omega) = \frac{(\nu_+ - \nu_-) \Delta}{2l^2 \omega_0} I^2 \left(\frac{\alpha q}{\omega_c} \right)^2 \times \\ \times |\mathcal{E}_+^{(-1)}|^2 \delta(\omega - \omega_0), \quad (33)$$

$$\bar{R}_{lh}^{el} = \frac{\delta(\omega)}{2l^2} I^2 \left[\nu_+ (1 - \nu_+) \times \right. \\ \times \left| \mathcal{E}_+^{(3)} + \frac{\Delta R}{\omega_c} \mathcal{E}_-^{(3)} \left(1 - \frac{q^2 l^2}{2} \right) - \frac{4\alpha \mathbf{q} \cdot \mathbf{a}}{\omega_c} - \right. \\ \left. - \frac{2\alpha(\nu_+ - \nu_-) I^2}{\epsilon_0 a_B \Delta} \left(2\hat{\mathbf{q}} \cdot \mathbf{a} + \frac{\alpha q}{\omega_c} \mathcal{E}_-^{(3)} \right) \right|^2 + \nu_- (1 - \nu_-) \times \\ \times \left| \mathcal{E}_-^{(3)} - \frac{2\alpha(\nu_+ - \nu_-) I^2}{\epsilon_0 a_B \Delta} \left(2\hat{\mathbf{q}} \cdot \mathbf{a} + \frac{\alpha q}{\omega_c} \mathcal{E}_-^{(3)} \right) \right|^2 \right], \quad (34)$$

$$\bar{R}_{lh}^{inel}(\omega) = \frac{\nu_+ - \nu_-}{8l^2 \Delta \omega_0} I^2 \left| (\omega_0 - \Delta) \left(2\mathcal{A}_- + \frac{\alpha q}{\omega_c} \mathcal{E}_-^{(3)} \right) - (\omega_0 + \Delta) \left(2\mathcal{A}_+ + \frac{\alpha q}{\omega_c} \mathcal{E}_-^{(3)} \right) \right|^2 \delta(\omega - \omega_0). \quad (35)$$

При отсутствии СОВ ($\alpha = 0$) выражения для сечений сильно упрощаются:

$$\bar{R}_{so}^{el} = \frac{\delta(\omega)}{2l^2} \times \times I^2 \left[\nu_+(1 - \nu_+) \left| \mathcal{E}_+ \right|^2 + \nu_-(1 - \nu_-) \left| \mathcal{E}_- \right|^2 \right], \quad (36)$$

$$\begin{aligned} \bar{R}_{so}^{inel}(\omega) &= \frac{\bar{R}_{lh}^{inel}(\omega)}{4} = \\ &= \frac{\nu_+ - \nu_-}{2l^2} I^2 \left| \mathcal{A}_+ \right|^2 \delta(\omega - \Delta_Z), \quad (37) \\ \left(\left| \mathcal{A}_+ \right|^2 = \left| a_+ \right|^2 \equiv \left| e_{1z}(e_{2-})^* - e_{1+}e_{2z}^* \right|^2 \right), \end{aligned}$$

$$\bar{R}_{hh}^{el} = \frac{\delta(\omega)}{2l^2} I^2 \left[\nu_+(1 - \nu_+) \left| \mathcal{E}_-^{(-1)} \right|^2 + \nu_-(1 - \nu_-) \left| \mathcal{E}_+^{(-1)} \right|^2 \right], \quad (38)$$

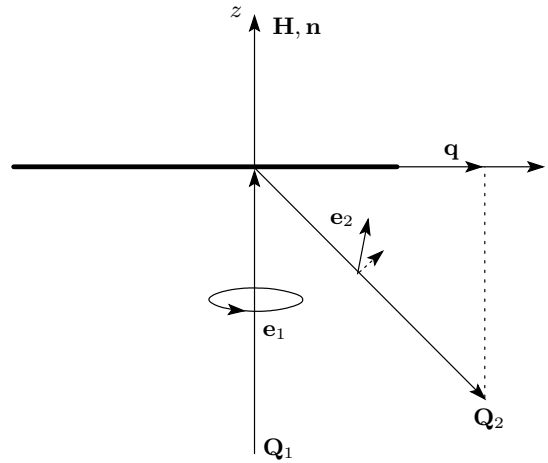
$$\bar{R}_{hh}^{inel}(\omega) = 0, \quad (39)$$

$$\bar{R}_{lh}^{el} = \frac{\delta(\omega)}{2l^2} I^2 \left[\nu_+(1 - \nu_+) \left| \mathcal{E}_+^{(3)} \right|^2 + \nu_-(1 - \nu_-) \left| \mathcal{E}_-^{(3)} \right|^2 \right]. \quad (40)$$

Формула (37) описывает рамановское спин-флип-рассеяние света на зееманновском переходе. Соответствующий результат для объемного полупроводника получен в работах [19, 20]. Как следует из формул (24), (26), (28), в отличие от резонансов со спин-отщепленной зоной и зоной легких дырок, при резонансе с зоной тяжелых дырок в оператор рассеяния не входят x -, y -компоненты σ . В результате недиагональные компоненты оператора $\hat{\Gamma}^{hh}$ отличны от нуля только в присутствии СОВ. Как следствие, при $\alpha = 0$ неупругое (спин-флип) рассеяние для этого резонанса отсутствует (формула (39)).

5. ЧАСТНАЯ ГЕОМЕТРИЯ

Как частный случай, рассмотрим следующую геометрию: по нормали к поверхности падает



Пример геометрии рассеяния: $Q_{1,2}$ — волновые векторы падающей (рассеянной) волн, пунктирной стрелкой показана проекция вектора поляризации рассеянной волны e_2 на плоскость x, y

луч правой (левой) круговой поляризации $e_1 = (1, i\xi, 0)/\sqrt{2}$, $\xi = \pm 1$, вектор поляризации рассеянной волны e_2 произволен (см. рисунок). При этом

$$e_1 \cdot e_2^* = (e_{2x}^* + i\xi e_{2y}^*)/\sqrt{2}, \quad a_z = -i\xi(e_{2x}^* + i\xi e_{2y}^*)/\sqrt{2},$$

$$a_x = i\xi e_{2z}^*/\sqrt{2}, \quad a_y = -e_{2z}^*/\sqrt{2}$$

и для сечений рассеяния из (36)–(40) находим

$$\begin{aligned} \bar{R}_{so}^{el} = \bar{R}_{lh}^{el} &= \frac{\delta(\omega)}{4l^2} I^2 |e_{2x} - i\xi e_{2y}|^2 \times \\ &\times \left[\nu_+(1 - \nu_+)(1 + \xi)^2 + \nu_-(1 - \nu_-)(1 - \xi)^2 \right], \quad (41) \end{aligned}$$

$$\begin{aligned} \bar{R}_{hh}^{el} &= \frac{\delta(\omega)}{4l^2} I^2 |e_{2x} - i\xi e_{2y}|^2 \times \\ &\times \left[\nu_+(1 - \nu_+)(1 - \xi)^2 + \nu_-(1 - \nu_-)(1 + \xi)^2 \right], \quad (42) \end{aligned}$$

$$\begin{aligned} \bar{R}_{so}^{inel}(\omega) &= \frac{\bar{R}_{lh}^{inel}(\omega)}{4} = \\ &= \frac{\nu_+ - \nu_-}{4l^2} I^2 |e_{2z}|^2 (1 - \xi)^2 \delta(\omega - \Delta_Z). \quad (43) \end{aligned}$$

Как следует из формул (41)–(43), при $\nu < 1$, когда заполняется только нижний подуровень, при левой круговой поляризации ($\xi = -1$) упругое рассеяние на спин-отщепленной зоне и зоне легких дырок равно нулю. При $\nu > 1$, когда начинает заполняться

верхний подуровень, при правой круговой поляризации ($\xi = 1$) упругое рассеяние с участием этих зон также равно нулю. В случае упругого рассеяния на валентной зоне тяжелых дырок наблюдается обратная ситуация. Сечение неупругого рассеяния на спин-отщепленной зоне и зоне легких дырок равно нулю при правой круговой поляризации ($\xi = 1$). Эти результаты являются следствием правил отбора, вытекающих из закона сохранения момента количества движения (например, поскольку спин фотона равен единице, комбинируют состояния с моментами $1/2$ и $-1/2$, $1/2$ и $3/2$, но не $-1/2$ и $3/2$ и т. п.). Покажем, что учет СОВ снимает эти запреты.

Для ориентированной двумерной системы (нормали к плоскости системы \mathbf{n} и $-\mathbf{n}$ не эквивалентны) существует спин-орбитальное взаимодействие [16]. При этом для сечений рассеяния нужно использовать формулы (30)–(35). Например, для резонанса со спин-отщепленной зоной в выбранной геометрии из (30), (31) находим

$$\begin{aligned} \bar{R}_{so}^{el} = & \frac{\delta(\omega)}{4l^2} I^2 \left[\nu_+ (1 - \nu_+) \times \right. \\ & \times \left| (e_{2x}^* + i\xi e_{2y}^*) \left[(1+\xi) \frac{\Delta R}{\omega_c} \left(1 - \frac{q^2 l^2}{2} \right) (1-\xi) \right] + \right. \\ & \left. + 2 \frac{\alpha q}{\omega_c} i e_{2z}^* (\xi \hat{q}_x + i \hat{q}_y) + \frac{2\alpha(\nu_+ - \nu_-) I^2}{\epsilon_0 a_B \Delta} \times \right. \\ & \left. \times \left(i e_{2z}^* (\xi \hat{q}_x + i \hat{q}_y) - \frac{\alpha q}{\omega_c} (e_{2x}^* + i\xi e_{2y}^*) (1-\xi) \right) \right|^2 + \\ & \left. + \nu_- (1 - \nu_-) \left| (e_{2x}^* + i\xi e_{2y}^*) (1-\xi) + \right. \right. \\ & \left. \left. + \frac{2\alpha(\nu_+ - \nu_-) I^2}{\epsilon_0 a_B \Delta} (i e_{2z}^* (\xi \hat{q}_x + i \hat{q}_y) - \right. \right. \\ & \left. \left. - \frac{\alpha q}{\omega_c} (e_{2x}^* + i\xi e_{2y}^*) (1-\xi) \right) \right|^2 \Big], \quad (44) \end{aligned}$$

$$\begin{aligned} \bar{R}_{so}^{inel}(\omega) = & \frac{\nu_+ - \nu_-}{16l^2 \Delta \omega_0} I^2 \left| (\omega_0 - \Delta) \times \right. \\ & \times \left[i \hat{q}_+ e_{2z}^* (1+\xi) - \frac{\alpha q}{\omega_c} (e_{2x}^* + i\xi e_{2y}^*) (1-\xi) \right] - (\omega_0 + \Delta) \times \\ & \times \left[i \hat{q}_- e_{2z}^* - \frac{\alpha q}{\omega_c} (e_{2x}^* + i\xi e_{2y}^*) \right] (1-\xi) \Big|^2 \delta(\omega - \omega_0). \quad (45) \end{aligned}$$

Из полученных формул следует, что в присутствии СОВ сечения рассеяния не обращаются в нуль и различны для $\xi = 1$ и $\xi = -1$. Видна также принципиальная возможность определения знака эффективного параметра СОВ α . Продемонстрируем эту

возможность на частном примере. Пусть рассеянный луч линейно поляризован, а его волновой вектор лежит в плоскости xz (ось x естественно выбрать вдоль вектора \mathbf{q}) и составляет, например, угол $\theta = \pi/4$ с нормалью \mathbf{n} к плоскости системы (рисунк). В силу ортогональности волнового вектора рассеянной волны и ее вектора поляризации \mathbf{e}_2 имеем $e_{2z} = -e_{2x}$. В результате получаем из (44) для сечения при $1 < \nu < 2$

$$\begin{aligned} \bar{R}_{so}^{el} = & \frac{I^2 \nu_- (1 - \nu_-)}{4l^2} \times \\ & \times \delta(\omega) \left[e_{2x}^2 (1 - \xi)^2 + ((1 - \xi) e_{2y} - b e_{2x})^2 \right], \quad (46) \\ & \nu_- = \nu - 1. \end{aligned}$$

Выражение (46) написано в предположении, что $\alpha q / \omega_c \ll 1$. Параметр $b = 2\alpha(2 - \nu)I^2 / (\epsilon_0 a_B \Delta)$ определяет влияние СОВ на сечение рассеяния. Он может иметь величину порядка единицы, несмотря на типичную малость α . Например, для системы на основе GaAs при $\alpha = 4 \cdot 10^5$ см/с, $H = 5$ Тл, $a_B \approx 10^{-6}$ см, $\nu = 1.5$ имеем $b \approx 2.3$. В случае падающей волны с левой круговой поляризацией ($\xi = -1$) множитель в квадратных скобках формулы (46) оказывается чувствительным к знаку α . Нетрудно видеть, что разность сечений для рассеянных волн с разными знаками y -компонент вектора \mathbf{e}_2 (например, для $\mathbf{e}_2 = (1, 1, -1)/\sqrt{3}$ и $\hat{\mathbf{e}}_2 = (1, -1, -1)/\sqrt{3}$) пропорциональна константе α .

Приведем для полноты выражения для сечений рассеяния в отсутствие спинового расщепления ($\alpha = 0, g = 0$). В этом случае имеется только упругое рассеяние, и для сечений из (36)–(40) находим

$$R_{so} = \frac{I^2 \nu (2 - \nu)}{4l^2} \delta(\omega) \left(|\mathbf{e}_1 \cdot \mathbf{e}_2^*|^2 + |\mathbf{a}|^2 \right), \quad (47)$$

$$R_{hh} = \frac{I^2 \nu (2 - \nu)}{4l^2} \delta(\omega) \left(|\mathbf{e}_{1\parallel} \cdot \mathbf{e}_{2\parallel}^*|^2 + |a_z|^2 \right), \quad (48)$$

$$\begin{aligned} R_{lh} = & \frac{I^2 \nu (2 - \nu)}{4l^2} \times \\ & \times \delta(\omega) \left(|\mathbf{e}_{1\parallel} \cdot \mathbf{e}_{2\parallel}^*|^2 + 4e_{1z} e_{2z}^*|^2 + 4|\mathbf{a}_{\parallel}|^2 + |a_z|^2 \right). \quad (49) \end{aligned}$$

Здесь учтено, что в тепловом равновесии $\nu_+ = \nu_- = \nu/2$.

Таким образом, в данной работе рассмотрено упругое и неупругое рассеяние света в двумерном случае в сильном магнитном поле. Выражение для сечения удалось записать в виде суммы рэлеевского, стоксова и антистоксова вкладов (уравнения (22),

(23)), причем два последних соответствуют частоте ω_0 межподзонного плазмона для двух компонент расщепленного нулевого уровня Ландау. Роль СОВ оказывается существенной: только благодаря СОВ имеется дисперсия упомянутого плазмона (ω_0 зависит от q) и снимается ряд запретов на рассеяние света круговой поляризации с участием различных дырочных подзон.

Работа выполнена при финансовой поддержке РФФИ (грант № 11-02-00060) и в рамках программ РАН.

ЛИТЕРАТУРА

1. А. Пинзак, Е. Бурштейн, в Сб.: *Рассеяние света в твердых телах*, под ред. М. Кардона, Мир, Москва (1979), Вып. I, с. 38.
2. М. В. Клейн, в Сб.: *Рассеяние света в твердых телах*, под ред. М. Кардона, Мир, Москва (1979), Вып. I, с. 174.
3. F. T. Vasko and O. E. Raichev, *Quantum Kinetic Theory and Applications. Electrons, Photons, Phonons*, Springer-Verlag New York Inc., New York (2005).
4. E. L. Ivchenko, *Optical Spectroscopy of Semiconductor Nanostructures*, Harrow, U.K. Alpha Science (2005).
5. Г. Абстрейгер, М. Кардона, А. Пинчук, в Сб.: *Рассеяние света в твердых телах*, под ред. М. Кардона, Мир, Москва (1986), Вып. IV, с. 12.
6. S. Haacke, Rep. Prog. Phys. **64**, 737 (2001).
7. L. V. Kulik, K. Ovchinnikov, A. S. Zhuravlev et al., Phys. Rev. B **85**, 113403 (2012).
8. I. K. Drozdov, L. V. Kulik, A. S. Zhuravlev et al., Phys. Rev. Lett. **104**, 136804 (2010).
9. L. V. Kulik, S. Dickmann, I. K. Drozdov et al., Phys. Rev. B **79**, 121310(R) (2009).
10. V. Bellani, F. Rossella, M. Amado et al., Phys. Rev. B **83**, 193307(R) (2011).
11. Л. И. Магарилл, А. В. Чаплик, М. В. Энтин, ЖЭТФ **119**, 175 (2001).
12. Р. З. Витлина, Л. И. Магарилл, А. В. Чаплик, Письма в ЖЭТФ **88**, 762 (2008).
13. Р. З. Витлина, Л. И. Магарилл, А. В. Чаплик, ЖЭТФ **137**, 112 (2010).
14. Р. З. Витлина, Л. И. Магарилл, А. В. Чаплик, ЖЭТФ **140**, 323 (2011).
15. F. A. Blum, Phys. Rev. B **1**, 1125 (1970).
16. Ю. А. Бычков, Э. И. Рашба, Письма в ЖЭТФ **39**, 66 (1984).
17. Ю. А. Бычков, В. И. Мельников, Э. И. Рашба, Письма в ЖЭТФ **98**, 717 (1990).
18. A. V. Chaplik, L. I. Magarill, and R. Z. Vitlina, in Proc. of 18th International Symposium "Nanostructures: Physics and Technology", St. Petersburg (2010), p. 57.
19. В. П. Макаров, ЖЭТФ **55**, 704 (1968).
20. Y. Yafet, Phys. Rev. **152**, 858 (1966).